





летающего ядра ( $N_f=0$ ) и событиях с одним многозарядным фрагментом во взаимодействиях  $S+Em200$  АГэВ.

Как видно из рисунка 1 кроме ожидаемого роста множественности при высоких энергиях в событиях центрального типа с  $N_f=0$  появляется дополнительная составляющая. Распределение

событий по множественности представляет собой ясную двухгорбовую структуру, разделенную уровнем  $n_s=200$ . При этом вероятность событий высокой множественности (например, с  $n_s=400$ ) практически совпадает с вероятностью появления событий малой множественности (например, с  $n_s=40$ ).

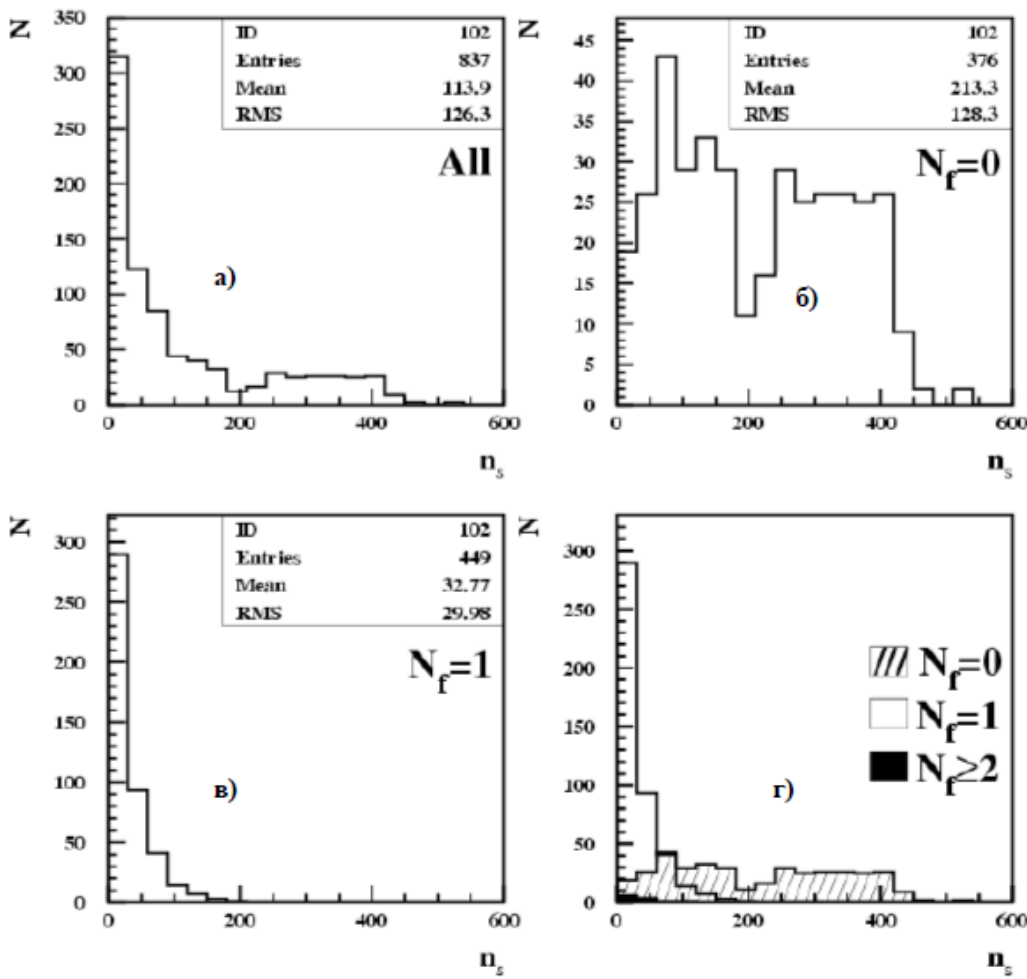


Рисунок 1 – Множественность  $n_s$  частиц для взаимодействий  $S+Em 200$  А ГэВ с разным числом многозарядных фрагментов  $N_f$

Для исследования других отличительных особенностей таких событий проанализировано их среднее псевдобыстротное распределение [31], представленное на рисунке 2.

Для сравнения на всех рисунках 2 а), б), в) и г) наложен фит функцией Гаусса для полного распределения по средней псевдобыстроте ливневых частиц, нормированный на число событий, представленных на рисунке 2. Как видно из рисунка 2, распределение по средней

псевдобыстроте ливневых частиц в событиях с  $N_f=0$  и множественностью  $n_s > 200$  существенно отличается от других распределений, представленных на этом рисунке. Во-первых, это распределение значительно более узкое, чем другие распределения. Дисперсия распределения, представленного на рисунке 2 г), в 2.3 раза меньше дисперсии распределения, представленного на рисунке 2 в). Во-вторых, среднее значение распределения, представленного на

рисунке 2 г), существенно смещено в сторону низких значений  $\langle\eta\rangle$ .

Таким образом, в столкновениях  $S+Em$  при энергии 200 АГэВ с ядрами фотоэмulsionий обнаружены события взрывного типа с высокой

множественностью, которые дают поток вторичных частиц в узком интервале средней псевдобыстроты и существенно смещенный в сторону низких значений  $\langle\eta\rangle$  (смещение в сторону больших углов).

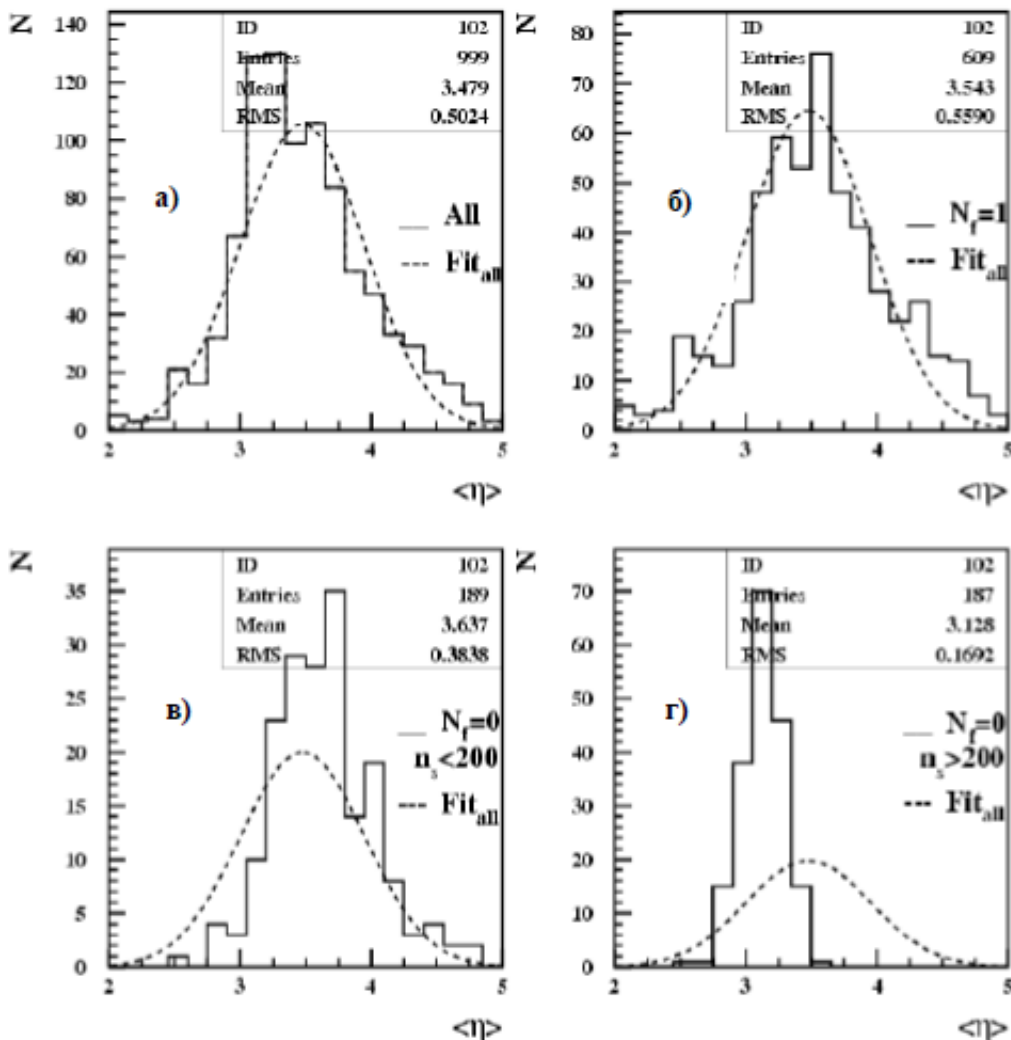


Рисунок 2 – Распределение по средней псевдобыстроте событий взаимодействия ядер серы S с энергией 200 АГэВ с ядрами фотоэмulsionий для событий с разным числом многозарядных фрагментов  $N_f$

Для исследования зависимости средней множественности от энергии налетающего ядра на рисунке 3 построены распределения для серы и кремния с энергиями 3.7 АГэВ, 14 АГэВ и 200 АГэВ. Для учета флуктуаций начальных условий ядро-ядерного взаимодействия события были разделены на центральные и периферические.

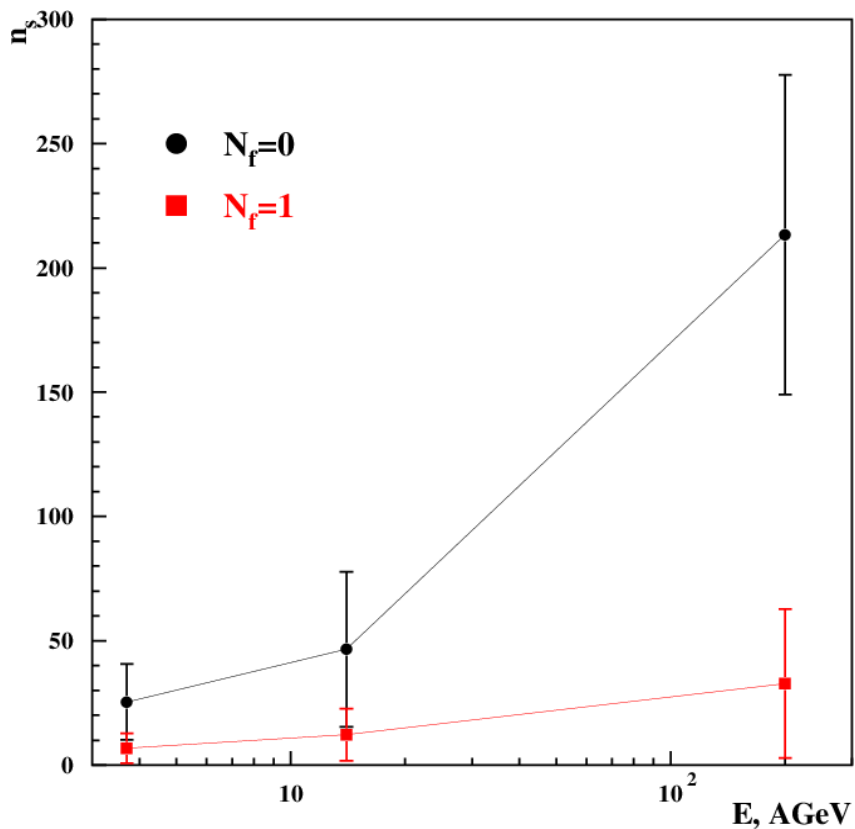
Как центральные взаимодействия рассматривались события, в которых отсутствуют много-

зарядные фрагменты ( $N_f=0$ ), как периферические взаимодействия рассматривались события с одним многозарядным фрагментом налетающего ядра ( $N_f=1$ ).

Из рисунка 3 видно, что с ростом энергии увеличивается средняя множественность вторичных частиц. Однако при больших энергиях  $S+Em$  200 АГэВ рост множественности вторичных частиц для центральных взаимодействий

намного больше, чем в событиях с периферическим взаимодействием ядер, что указывает на аномальный рост числа событий полного разрушения ядра-снаряда. Для взаимодействий

серы с энергией 3.7 АГэВ и для ядер кремния с энергией 14 АГэВ и для периферических и для центральных взаимодействий множественность ливневых частиц отличается примерно в 2 раза.



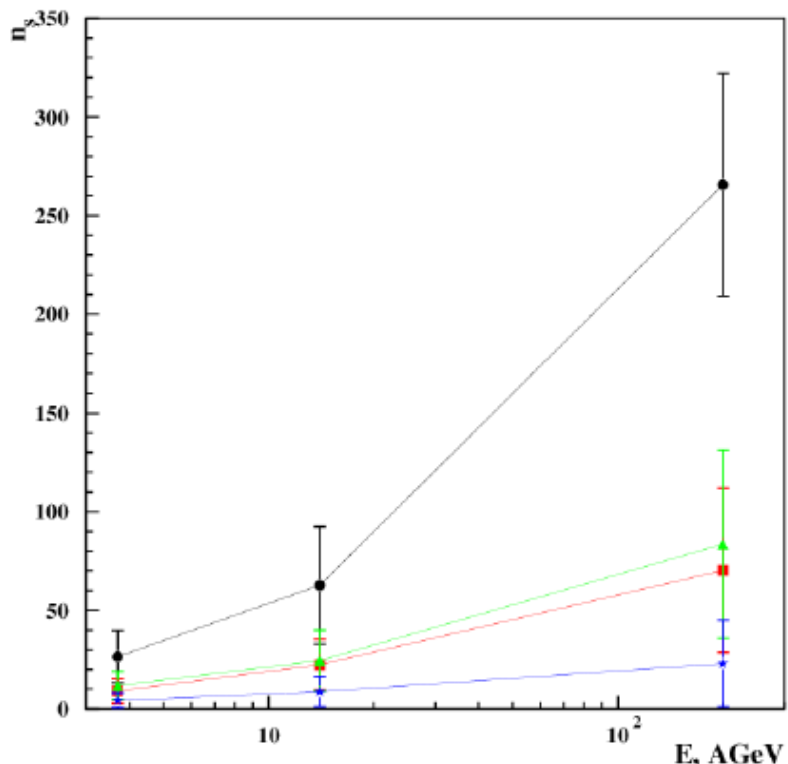
**Рисунок 3 – Зависимость средней множественности вторичных частиц  $n_s$  во взаимодействиях  $S+Em$  3.7 АГэВ,  $Si+Em$  14 АГэВ и  $S+Em$  200 АГэВ от энергии взаимодействия для событий полного разрушения налетающего ядра ( $N_f=0$ ) и событий с одним многозарядным фрагментом**

Для взаимодействий  $S+Em$  200 АГэВ коэффициент увеличения множественности зависит от степени перекрытия ядер, для центральных взаимодействий  $C_m=8.4$ , а для периферических  $C_m=4.8$ .

Для понимания возможной связи асимметрии взаимодействующих ядер и особенностей аномально высокой множественности ливневых частиц на рисунке 5 представлена зависимость средней множественности вторичных частиц  $n_s$  во взаимодействиях  $S+Em$  3.7 АГэВ,  $Si+Em$  14 АГэВ и  $S+Em$  200 АГэВ от энергии взаимодействия для событий с различным числом фрагментов ядра мишени

$N_h$  и многозарядных фрагментов ядра снаряда  $N_f$ .

При сравнительном анализе средней множественности для взаимодействий ядер серы и кремния с тяжелыми и легкими ядрами фотоэмulsionии, представленном на рисунке 4, обнаружена зависимость коэффициента увеличения множественности события от размера ядра-мишени. Коэффициент увеличения множественности  $C_m$  имеет почти прямолинейный рост от энергии (на логарифмической оси) для всех событий, за исключением центральных взаимодействий ядер серы с тяжелыми ядрами фотоэмulsionии при 200 АГэВ.



Черные круги –  $N_f=0, N_h>8$ ; зеленые треугольники –  $N_f=0, N_h>8$ ;  
красные квадраты –  $N_f=1, N_h\leq 8$ ; синие звезды –  $N_f=1, N_h\leq 8$

**Рисунок 4** – Зависимость средней множественности вторичных частиц  $n_s$  во взаимодействиях S+Em 3.7 АГэВ, Si+Em 14 АГэВ и S+Em 200 АГэВ от энергии взаимодействия для событий с различным числом фрагментов ядра мишени  $N_h$  и многозарядных фрагментов ядра снаряда  $N_f$

Таким образом, множественность события существенно зависит от энергии взаимодействия и асимметрии ядро-ядерного взаимодействия.

### Заключение

С ростом энергии увеличивается средняя множественность вторичных частиц. Однако при больших энергиях S+Em 200 АГэВ рост множественности вторичных частиц для центральных взаимодействий намного больше, чем в событиях с периферическим взаимодействием ядер, что указывает на аномальный

рост числа событий полного разрушения ядра-снаряда.

Распределение по средней псевдобыстроте таких событий существенно смещено в сторону низких значений  $\langle \eta \rangle$ , что свидетельствует о двух различных потоках частиц, направленных под различными углами.

### Благодарность

Исследование выполнено при финансовой поддержке Министерства Образования и Науки Республики Казахстан (грант № AP08855403, грант № AP09562078, грант № BR10965191).

### Литература

- 1 Scharenberg R.P., Srivastava B.K., Hirsch A.S., Pajares C. Hot Dense matter: deconfinement and clustering of color sources in nuclear collisions // Universe. – 2018. – Vol. 4(9). – 96.
- 2 Sahu D., Tripathy S., Pradhan G.S., Sahoo R. Role of event multiplicity on hadronic phase lifetime and QCD phase boundary in ultrarelativistic collisions at energies available at the BNL Relativistic Heavy Ion Collider and CERN Large Hadron Collider // Physical Review C. – 2020. – Vol. 101(1). – ID.014902.



### References

- 1 R.P. Scharenberg, B.K. Srivastava, A.S. Hirsch and C. Pajares, Universe **4**, 96 (2018).
- 2 D. Sahu, S. Tripathy, G.S. Pradhan and R. Sahoo, Physical review C **101**, ID.014902 (2020).
- 3 J.E. Bernhard., J.S. Moreland and Bass S.A., Nuclear physics A **967**, 293-296 (2017)..
- 4 A.M. Syam Kumar, J.P.Prasanth and Vishnu M.Bannur, Physica A: Statistical Mechanics and its Applications **432**, 71-75 (2015).
- 5 X.B. Zhang and Q.R. Zhang, Communications in Theoretical physics **32**, 575-582, (1999).
- 6 G. Ropke, Contributions to Plasma Physics **43**, 350-354 (2003).
- 7 Alice Ohlson, XXVII International Conference on Ultrarelativistic Nucleus-Nucleus Collisions (Quark Matter 2018), Nuclear Physics A **982**, 299–302 (2019).
- 8 S. Bhattacharyya, M. Haiduc, A.T. Neagu and E. Firu, Canadian Journal of Physics **98**, 153-157 (2020)..
- 9 U. Abdurakhmanov U., K. Gulamov, V. Lugovoi and V. Navotny, Advances in High Energy Physics **2018**, ID.3098252 (2018).
- 10 S. Bhattacharyya, Canadian Journal of Physics **99**, 340-346 (2021).
- 11 M.H. Rasool M.H. and S. Ahmad, Chinese Journal of Physics **55**, 260-267 (2017).
- 12 S. Bhattacharyya, M. Haiduc, A.T. Neagu and E. Firu, EPL **126**, ID.42001 (2019).
- 13 S. Bhattacharyya, M. Haiduc, A.T. Neagu and E.Firu, Canadian J. of Phys. **98**, 153-157 (2020).
- 14 A. Kawecka, Photonics applications in Astronomy, Communications, Industry, and High Energy Physics Experiments **11581**, ID.1158113 (2020).
- 15 S. Bhattacharyya, International journal of modern physics E **29**, ID.2050020 (2020).
- 16 S. Basu, S. Thakur, T.K. Nayak and C.A. Pruneau, Journal of Physics G: Nuclear and Particle Physics **48**, ID.025103 (2021).
- 17 K. Kawaguchi, K. Murase and T. Hirano, Nuclear Physics A **967**, 357-360 (2017).
- 18 N.P. Andreeva, A.Sh. Gaitinov, I.A. Lebedev, V.I. Skorobogatova, L.N. Filippova and D.B. Shaikhieva, Physics of Elementary Particles and Atomic Nucleus. Experiment **4**, 67-72 (2007).
- 19 S. Kumar, M.K. Singh, V. Singh and R.K. Jain, The European Physical Journal Plus **136**, 115(2021).
- 20 Zhi Zhang, Tian-Li Ma and Dong-Hai Zhang, Physics Procedia **80**, 50-53(2015).
- 21 W. Bari and N.A. Rather, Ukrainian Journal of Physics **62**, 12-19 (2017).
- 22 G. Bhoumik, S. Bhattacharyya, A. Deb and D. Ghosh, European Physical Journal A **51**, N.78 (2015).
- 23 D. Ghosh, A. Deb, S. Bhattacharyya and U. Datta, Physica Scripta **85**, ID.065205 (2012).
- 24 A. Sh. Gaitinov, P.B. Kharchevnikov, I.A. Lebedev and A.I. Lebedeva, HEP-Ph. **1**, 1-10, (2012).
- 25 A.I. Fedosimova, A. Sh. Gaitinov, E. Grushevskaya and I. Lebedev, EPJ Web of Conferences **145**, ID.19009 (2017).
- 26 I.A. Lebedev, A.T. Temiraliev and A.I. Fedosimova, Knowledge E Energy & Physics **3**, 102-108 (2018).
- 27 M.I. Adamovich et al., Part.Nucl.Lett. **4**(101), 75-82, (2000).
- 28 M.I. Adamovich et al., Phys. Lett. B. **227**, 285-290, (1989).
- 29 A.I. Fedosimova, A.Sh. Gaitinov, I.A. Lebedev and A.T Temiraliev, J. Phys.: Conf. Ser. **668**, ID 012067 (2016).
- 30 E. Andronov, Acta Physica Polonica B Proceedings Supplement **10**(3), 449-453 (2017).
- 31 Ying Yuan, Radiation measurements **43**, 250-253 (2008).